

1+1 维 $U(1)$ Higgs 模型的 Non-contractable loop 和 Sphaleron*

李玉晓 时万钟 刘力

(郑州大学物理系 郑州 450052)

1993年8月23日收到

摘 要

讨论圆周上的 $U(1)$ Higgs 模型,构造出了 Non-contractable loops, 并给出了 Sphaleron 和多 Sphaleron 解。

关键词 不可收缩圈, Sphaleron, 拓扑真空。

1 引 言

在标准电弱理论中,重子数和轻子数不是严格守恒的^[1],其原因是费米子流反常及非阿贝尔规范理论具有复杂的真空结构。拓扑不等价的真空之间的跃迁导致了相应过程的发生。费米子数不守恒是一个非微扰现象。拓扑跃迁有两种机制:量子 tunnelling,即 Instanton transition^[1,2]和 Over-barrier Classicalevolution,即 Sphaleron transition^[3,4]。在通常条件下,弱耦合理论的 Instanton 跃迁被一个半经典因子 $\exp(-4\pi/\alpha_w) \sim 10^{-15}$ 指数地压低,因此,在实验上难以观察到这种过程,但是,在某些情况下,比如高温情况,拓扑跃迁可以通过 Sphaleron 机制实现,跃迁率将大为增加,事实上,这种情况对于早期宇宙,特别是对于宇宙中重子数不对称问题具有十分重要的意义。

Weinberg-Salam (WS) 理论中的 Sphaleron 是经典场方程的不稳定解,其能量代表拓扑不等价的真空之间势垒的高度,到目前为止,仅有数值解,因而使有限温度下,重子衰变率的计算受到极大的局限,正是这个原因,人们转向简单模型的研究,特别是 1+1 维的阿贝尔 Higgs 模型,正如 WS 模型那样,它也具有复杂的真空结构,通过对它的研究试图理解 WS 理论中的费米子数不守恒的问题。

Bochkarev 和 Shaposhnikov^[5]对全空间 ($L \rightarrow \infty$) 1+1 维阿贝尔 Higgs 模型的 Sphaleron 跃迁作了解析研究,但他们所谓的 Sphaleron 实质上是 Kink。Grigoriev, Rubakov 和 Shaposhnikov^[6]用数值方法,通过解实时间经典场方程,确实观察到了 Sphaleron 跃迁,但他们所观察的体系是在有限空间 (L 有限)。因此对有限空间的 1+1 维 $U(1)$ Higgs 模型的解析研究将是有意义的。Brihaye 等^[7]在 Montan 和 Samols^[8]及 J.-Q. Liang^[9]等人对 $\lambda\phi^4$ 模型研究的基础上,给出了 1+1 维 $U(1)$ Higgs 模型的周期经典

* 河南省自然科学基金资助。

解,并讨论了这些解的简正模,显示了这些解的不稳定性。

为计算有限温度下重子衰变率,准确地确定 Sphaleron 及相应的能量是至关重要的,对此,我们认为最可靠,最明了的方法是构造 Non-Contractable loop (不可收缩圈)^[3],这就是本文的动机。讨论的模型是:

$$\begin{aligned} \mathcal{L} &= -\frac{1}{4} F_{\mu\nu} F^{\mu\nu} + (D_\mu \varphi)^* (D^\mu \varphi) - V(\varphi), \\ V(\varphi) &= \lambda \left(\varphi^* \varphi - \frac{v^2}{2} \right)^2, \quad F^{\mu\nu} = \partial^\mu A^\nu - \partial^\nu A^\mu, \\ D_\mu \varphi &= \partial_\mu \varphi - ie A_\mu \varphi. \end{aligned} \quad (1)$$

空间坐标 $x \in \left[-\frac{L}{2}, +\frac{L}{2}\right]$, 体系具有周期性边界条件,

$$\varphi\left(-\frac{L}{2}\right) = \varphi\left(+\frac{L}{2}\right), A_\mu\left(-\frac{L}{2}\right) = A_\mu\left(+\frac{L}{2}\right).$$

若 $U(1)$ 对称性自发破缺,则产生一个质量为 $M_W = ev$ 的玻色子和一个质量为 $M_H = \sqrt{2\lambda}v$ 的标量 Higgs 粒子。

2 1+1 维 $U(1)$ Higgs 模型的真空结构

在正则 Hamiltonian 形式中,体系的能量泛函:

$$H = \int dx \left\{ \frac{1}{2} \Pi_1^2 + (D^1 \varphi)^* (D_1 \varphi) + V(\varphi) + \Pi_\varphi \Pi_{\varphi^*} \right\}, \quad (2)$$

其中

$$\Pi_1 = -F^{01} = -E_1, \quad \Pi_\varphi = (D_0 \varphi)^*, \quad \Pi_{\varphi^*} = D_0 \varphi. \quad (3)$$

分别为场 A_1 , φ 和 φ^* 的正则动量, $\Pi_0 = 0$ 及相应的自治性条件为体系的约束条件。

由(2)式可知, H 是半正定的,体系具有最小能量(零能)的充要条件:

$$\begin{aligned} \varphi(x, t) &= \frac{v}{\sqrt{2}} e^{i\alpha(x, t)}, \\ D_\mu \varphi &= 0, \\ F_{\mu\nu}(x, t) &= 0. \end{aligned}$$

即

$$\begin{aligned} \varphi(x, t) &= \frac{v}{\sqrt{2}} e^{i\alpha(x, t)}, \\ A_\mu(x, t) &= \frac{1}{e} \partial_\mu \alpha(x, t). \end{aligned} \quad (4)$$

其中 $\alpha(x, t)$ 为任意函数,因此有连续的无穷多的经典极小,通常的微扰论真空期待值是其中之一, $\langle \varphi(x, t) \rangle = \frac{v}{\sqrt{2}}$, $\langle A_\mu \rangle = 0$, 对(4)式做规范变换得到的位形仍属于(4)式定义域中,于是(4)式位形称为“纯规范”。

位形(4)式并非都是物理上独立的,多余的部分是由规范不变性产生的,注意到其中有静态的和与时间有关的位形,可以通过部分地固定规范消掉与时间有关的部分,为此选择 $A_0 = 0$.

在 $A_0 = 0$ 规范下,经典最小能量位形为时间无关的集合:

$$\begin{aligned}\varphi(x) &= \frac{v}{\sqrt{2}} e^{i\alpha(x)} \\ A_1(x) &= \frac{1}{e} \frac{d}{dx} \alpha(x)\end{aligned}\quad (5)$$

此式仍有连续的无穷简并性。然而,选择 $A_0 = 0$ 并没有完全固定规范,还存在时间无关的规范自由度,下面从量子理论的角度处理这种自由度。

在正则 Hamiltonian 形式中,由于时间无关规范自由度,必须加上 Gauss 约束 (Gauss 律)。

$$\begin{aligned}I(x) &= \text{Div} E_1(x) - j_0(x) \\ &= \frac{dE_1(x)}{dx} - ie[\varphi^* D_0 \varphi - \varphi (D_0 \varphi)^*] = 0.\end{aligned}\quad (6)$$

容易证明在量子理论中,此式不能看成是算符方程,必须把 Gauss 律看作物理态的一个约束:

$$I(x)|\psi\rangle_{\text{phys}} = 0.\quad (7)$$

构造算符:

$$U_A = \exp \left[\frac{i}{e} \int \Lambda(x) I(x) dx \right],\quad (8)$$

其中 $\Lambda(x)$ 为任意 C 数函数,显然

$$U_A |\psi\rangle_{\text{phys}} = |\psi\rangle_{\text{phys}}.\quad (9)$$

考虑函数 $\Lambda(x)$ 的子集 $\bar{\Lambda}(x)$: $\bar{\Lambda}(x)$ 满足 $\bar{\Lambda}(\pm \frac{L}{2}) = 0$

则

$$U_{\bar{\Lambda}(x)} = \exp \left\{ i \int \left[\Pi_1 \left(\frac{\partial_1 \bar{\Lambda}}{e} \right) + \Pi_{\varphi^*} (-i \bar{\Lambda} \varphi^*) + \Pi_{\varphi} (i \bar{\Lambda} \varphi) \right] dx \right\}.\quad (10)$$

所以 $U_{\bar{\Lambda}}$ 是与时间无关规范变换

$$\begin{aligned}\varphi &\rightarrow \varphi' = e^{i\bar{\Lambda}(x)} \varphi, \varphi^* \rightarrow \varphi'^* = e^{-i\bar{\Lambda}(x)} \varphi^*, \\ A_1 &\rightarrow A_1' = A_1 + \frac{1}{e} \partial_1 \bar{\Lambda}(x).\end{aligned}\quad (11)$$

相应的量子理论中的算符,物理态在此算符作用下不变。

时间无关规范变换并不限于 $\bar{\Lambda}(x)$,对一般的 $\Lambda(x)$ 都存在相应的规范变换,并且都使 Lagrangian 和 Hamiltonian 不变,但是物理态并不一定在它们的变换下不变,由此,把时间无关规范变换分为“小规范变换”和“大规范变换”,物理态在小规范变换之下一定不变。

由上述讨论可知,所有的场位形 $\{\varphi, A_1\}$ 可以按照“小规范等价性”分成一些等价类,

仅仅这些类本身,而不是每一个位形才是体系的坐标。可以证明^[10],把(5)式的零能位形按小规范等价性分类与同伦分类完全相同,每一个同伦类由一个 Winding number 表征:

$$N_{cs} = \frac{e}{2\pi} \int A_1 dx \\ = \frac{1}{2\pi} \int dx \frac{d\alpha}{dx} = \frac{1}{2\pi} \left[\alpha \left(\frac{L}{2} \right) - \alpha \left(-\frac{L}{2} \right) \right]. \quad (12)$$

因此,经典真空为分立的,无穷简并的零能位形集合。为具体起见,选择 Coulomb 规范,则经典真空为:

$$N_{cs} = n, \\ \varphi = \frac{v}{\sqrt{2}} \exp \left[i \frac{2\pi n}{L} x \right], \quad (n = 0, \pm 1, \pm 2, \dots). \quad (13)$$

3 非平庸的经典静态解

经典运动方程:

$$D_\mu [D^\mu \varphi] = -2\lambda \left(|\varphi|^2 - \frac{v^2}{2} \right) \varphi, \quad (14a)$$

$$\partial_\mu F^{\mu\nu} = ie [(D^\nu \varphi)^* \varphi - (D^\nu \varphi) \varphi^*]. \quad (14b)$$

其中 $\mu, \nu = 0, 1$ 。

选择 $A_0 = 0$ 规范,并考虑静态情形,则静态方程为:

$$\frac{d^2}{dx^2} \varphi + ie \frac{d}{dx} (A^1 \varphi) + ie A^1 \frac{d}{dx} \varphi - e^2 (A^1)^2 \varphi \\ - 2\lambda \left(|\varphi|^2 - \frac{v^2}{2} \right) \varphi, \quad (14c)$$

$$\left(\frac{d\varphi}{dx} \right) \varphi^* - \left(\frac{d\varphi^*}{dx} \right) \varphi = -2ie A^1 \varphi \varphi^*. \quad (14d)$$

此方程具有剩余规范不变性,将复标量场参数化:

$$\varphi(x) = \frac{v}{\sqrt{2}} \exp[i\rho(x)] \varphi'(x), \quad (15)$$

其中 $\rho(x)$ 和 $\varphi'(x)$ 为实场,利用剩余规范对称性,取

$$\varphi(x) = \frac{v}{\sqrt{2}} \exp \left[i \frac{2\pi q}{L} x \right] \varphi' \quad (\text{Coulomb 规范}). \quad (16)$$

则 $A_1 = \frac{2\pi q}{eL} \varphi'$ 满足:

$$\frac{d^2}{dx^2} \varphi'(x) = \frac{1}{2} M_H^2 (\varphi'^2 - 1) \varphi'(x).$$

此方程为 Kink 方程,其周期解为^[11]:

$$\varphi'(x) = k \left(\frac{2}{1+k^2} \right)^{1/2} \text{Sn}(b(k)x, k). \quad (17)$$

其中 $k(0 \leq k \leq 1)$ 为参数, $b(k) = v \left(\frac{\lambda}{1+k^2} \right)^{1/2}$, $\text{Sn}(u)$ 为 Jacobi 椭圆函数.

由此得到场方程(14)的非平庸的,有限能量的静态周期解:

$$\begin{aligned} \varphi(x) &= \frac{v}{\sqrt{2}} \exp \left[i \frac{2\pi q}{L} x \right] \varphi'(x), \\ A_0 &= 0 \\ A_1 &= \frac{2\pi q}{eL}. \end{aligned} \quad (18)$$

其中 q 为此解的 Chen-simons 荷, q 与 L 满足条件:

$$L = \frac{2mK(k)}{b(k)} \quad (m = 1, 2, 3, 4, \dots). \quad (19a)$$

$$q = \frac{1}{2} + n \quad (m \text{ 为奇数}); \quad q = n \quad (m \text{ 为偶数}) \quad (n = 0, \pm 1, \pm 2, \dots). \quad (19b)$$

其中 $K(k)$ 为第一类完全椭圆积分^[11], 此式与 Brihaye 等人^[7]的结果一致.

4 有限空间的 Non-contractable loops

正如引言中所说,为研究 Sphaleron,方便的方法是寻找连接不同的拓扑真空的路径,即在拓扑数取不同值(如 0 和 1)的真空之间插入一系列场位形 $\{\varphi(x, q), N_{cs}(q)\}$, 这里将位形的 Chen-simons 数作为路径的参数. Bochkarev 和 Shaposhnikov^[5] 研究了无限空间($L \rightarrow \infty$)的体系,他们所谓的 Sphaleron 实质上是 Kink. 我们想在有限空间,找出 Non-contractable loop, 从而确定有限空间的 Sphaleron.

在 $A_0 = 0$ 和 Coulomb 规范条件下,静态能量泛函:

$$E = \int dx \{ (\bar{D}_1 \varphi)^* (\bar{D}_1 \varphi) + V(\varphi) \}, \quad (20)$$

其中 $\bar{D}_1 \varphi = \partial_1 \varphi - i \frac{2\pi q}{L} \varphi$.

为消除常数场 q , 作如下代换:

$$\varphi = \exp \left[i \frac{2\pi q}{L} x \right] \varphi' \quad (\text{此处 } \varphi' \text{ 复场}) \quad (21)$$

则

$$E = \int dx \{ (\partial_1 \varphi')^* (\partial_1 \varphi') + V(\varphi') \}. \quad (22)$$

令

$$\text{Re } \varphi' = \frac{v}{\sqrt{2}} f, \quad f \text{ 与 } x \text{ 无关, 且 } |f| \leq 1. \quad (23)$$

由 $\frac{\delta E}{\delta \text{Im } \varphi'} = 0$ (希望找到能量极小的路径), 得

$$\frac{d^2}{dx^2} \text{Im}\varphi' - 2\lambda \text{Im}\varphi' \left[(\text{Im}\varphi')^2 + (\text{Re}\varphi')^2 - \frac{\nu^2}{2} \right] = 0. \quad (24)$$

此方程为 Kink 方程, 周期解为:

$$\text{Im}\varphi' = \frac{bk}{\sqrt{\lambda}} \text{Sn}(bx, k), \quad (25)$$

其中, $b(k) = \nu \left[\frac{1-f^2}{1+k^2} \lambda \right]^{1/2}$.

利用周期性边界条件 $\varphi' \left(-\frac{L}{2} \right) = e^{i2\pi q} \varphi' \left(\frac{L}{2} \right)$, 容易证明: 仅当如下条件得到满足时, 才存在 Non-contractable loops:

$$bL = 2mK(k), (m = 1, 3, 5, \dots). \quad (26)$$

此时, Non-contractable loops 为:

$$\begin{aligned} \text{Im}\varphi' &= \nu k \left(\frac{1-f^2}{1+k^2} \right)^{1/2} \text{Sn}(bx, k), \\ \text{Re}\varphi' &= \frac{\nu}{\sqrt{2}} f, \\ L &= \frac{2(2l+1)}{b} K(k), (l = 0, 1, 2, \dots), \end{aligned} \quad (27)$$

$$f = \pm \frac{\sqrt{2} k \cos \pi q}{[\sin^2 \pi q + k^2(1 + \cos^2 \pi q)]^{1/2}}$$

其中“±”号的取舍依赖于 l 和 q , 如 $0 \leq q \leq 1$, 则“±”分别对应 l 为奇数和 l 为偶数.

5 结论和讨论

利用上节所得到场位形(27), 可以得到如下结论:

(1) 它们是以 q 为参数, 连接不同拓扑真空的 Non-contractable loops.

首先, 当 $q = n$ 时, ($n = 0, \pm 1, \pm 2, \dots$) $f = \pm(-1)^n$, $\text{Re}\varphi' = \pm(-1)^n \frac{\nu}{\sqrt{2}}$,

$\text{Im}\varphi' = 0$, 这些位形正是真空位形(13), 当 q 连续地从 n 变到 $n+1$ 时, (27)就构成了连接 n -真空和 $(n+1)$ -真空的路径. 当 $q = \frac{1}{2} + n$ 时, $f = 0$,

$$\begin{aligned} b &= \nu \left(\frac{\lambda}{1+k^2} \right)^{1/2}, \\ \text{Im}\varphi' &= \frac{\nu}{\sqrt{2}} k \left(\frac{2}{1+k^2} \right)^{1/2} \text{Sn}(bx, k), \\ \varphi' &= i \frac{\nu}{\sqrt{2}} k \left(\frac{2}{1+k^2} \right)^{1/2} \text{Sn}(bx, k), \\ L &= \frac{2mk}{b}, (m = 1, 3, 5, \dots). \end{aligned} \quad (28)$$

此形位正是第三节中得到的经典解 $q = \frac{1}{2} + n$ 的情况。

再者,位形(28)有零点,因为 Jacobi 椭圆函数 $\text{Sn}(u)$ 有如下性质, $\text{Sn}(u) = -\text{Sn}(-u)$ 及 $\text{Sn}(u + 2k) = -\text{Sn}(u)$, 所以 $\text{Sn}(2jk) = 0, (j = 0, \pm 1, \pm 2, \dots)$, 由此得到(28)的零点为:

$$bx = 2jk, x = \frac{2jk}{b}, (j = 0, \pm 1, \pm 2, \dots). \quad (29)$$

而 $q \neq \frac{1}{2} + n$, 对应的位形均无零点, 因此, (27) 为连接 n -真空和 $(n+1)$ -真空的 Non-contractable loops, 对 0-真空和 1-真空的 Non-contractable loops, 可用图 1 表示。

(2) 沿 Non-contractable loops 的静态能量。

将(27)式代入(22)式, 可以得到:

$$E(q, k, l) = \sqrt{\lambda} v^3 \frac{|\sin^3 \pi q|}{[\sin^2 \pi q + k^2(1 + \cos^2 \pi q)]^{1/2}} \times \left\{ \frac{4}{3} (1 + k^2) E + \left[\frac{1}{2} (1 - k^2)^2 - \frac{4}{3} (1 - k^2) \right] K \right\} (2l + 1). \quad (30)$$

其中 E 为第二类完全椭圆积分^[4]。

当 $k \rightarrow 1$ 时, $L \rightarrow \infty$, 可以证明(30)式变为:

$$E(q, k = 1, n) = \frac{\sqrt{8\lambda} v^3}{3} |\sin^3 \pi| \cdot (2l + 1). \quad (31)$$

相应的 Non-contractable loops 为:

$$f = \pm \cos \pi q, (\pm \text{号分别对应 } l \text{ 为偶和 } l \text{ 为奇}),$$

$$\text{Im} \phi' = \left[\frac{v}{\sqrt{2}} \sin \pi q \right] \tanh \left[\left(\frac{v\sqrt{\lambda}}{\sqrt{2}} \sin \pi q \right) x \right], \quad (32)$$

$$b = \frac{v\sqrt{\lambda}}{\sqrt{2}} \sin \pi q.$$

当 $l = 0$ 时, (31)和(32)式正是 Bochkarev 和 Shaposhnikov^[5]得到的结果。

静态能量对 q 的依赖(30)式可用图 2 表示, 其中

$$E(K, l) = \sqrt{\lambda} v^3 \frac{(2l + 1)}{(1 + k^2)^{3/2}} \left\{ \frac{4}{3} (1 + k^2) E + \left[\frac{1}{2} (1 - k^2)^2 - \frac{4}{3} (1 - k^2) \right] K \right\}. \quad (33)$$

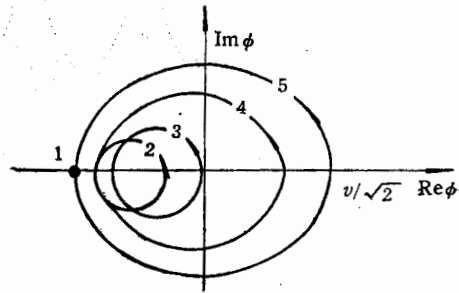


图 1 0-真空和 1-真空之间的一个 Non-contractable loops ($l = 0$)
曲线“1”缩为“.”代表 0-真空, 曲线“2”代表 $q < \frac{1}{2}$ 的一个位形, 曲线“3”为 $q = \frac{1}{2}$ 的位形, 曲线“4”代表 $q > \frac{1}{2}$ 的一个位形, 曲线“5”为 1-真空

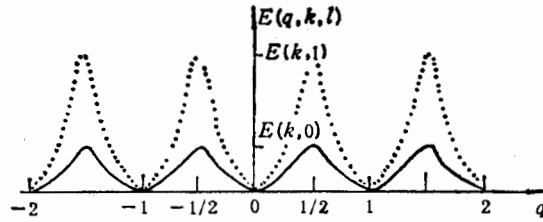


图2 真空之间不同的 Non-contractable loops (用 l 标记, $l = 0, 1, 2, \dots$) 相应的静态能量, 其中画出了两条 ($l = 0, 1$ 分别对应实线和虚线), $E(k, 1) = 3E(k, 0)$

(3) Sphaleron 和多 Sphaleron 位形.

由 Klinkhamer 和 Manton^[3] 对电弱理论的讨论, 具有不同拓扑数的真空之间的势垒的顶端位形称为 Sphaleron, 从前面我们得到的结果中, 可以看出, 在不同的拓扑真空 (如 0-真空和 1-真空) 之间存在无穷多个 Non-contractable loops ($l = 0, 1, 2, \dots$), 但真空之间势垒的高度应由 $l = 0$ 的 Non-contractable loops 决定, 所以, Sphaleron 能量及相应的位形分别为:

$$E_{\text{ph}}(k) = E(k, l=0) = \frac{\sqrt{\lambda} v}{(1+k^2)^{3/2}} \left\{ \frac{4}{3} (1+k^2) E + \left[\frac{1}{2} (1-k^2)^2 - \frac{4}{3} (1-k^2) \right] K \right\},$$

$$A_0 = 0, \quad (34)$$

$$A_1 = \frac{2\pi}{eL} \left(\frac{1}{2} + n \right), \quad (n = 0, \pm 1, \pm 2, \dots),$$

$$\varphi' = i \frac{v}{\sqrt{2}} k \left(\frac{2}{1+k^2} \right)^{1/2} \text{Sn}(bx, k), \quad (35)$$

其中 $b = v \left(\frac{\lambda}{1+k^2} \right)^{1/2}$, $L = \frac{2K(k)}{b}$, 此位形仅当 $L \geq L_1 = \frac{\pi}{v\sqrt{\lambda}}$ 时才存在.

$l > 0$ 的 Non-contractable loops 顶端位形我们把它称为 $(2l+1)$ -Sphalerons 位形, 其能量为 $E(k, l) = (2l+1)E_{\text{ph}}$, 这些位形仅当 $L \geq 3L_1$ 时才存在, 从(30)式知 Sphaleron 及多 Sphaleron 解都是不稳定的, 简正模的讨论^[7]也证实了这一点.

通过构造 Non-contractable loops, 明确了 Sphaleron 和多 Sphalerons 解, 这一方法十分明了, 有了这些解之后, 可以进一步研究 Sphaleron 跃迁, 估计在高温情况下, 多 Sphalerons 解对重子衰变的贡献可能是不能忽略的, 这将是下一步的工作.

参 考 文 献

- [1] G. 't Hooft, *Phys. Rev. Lett.*, **37** (1976) 8.
- [2] A. A. Belavin, A. M. Polyakov, A. S. Schwartz and Yu. S. Tyupkin, *Phys. Lett.*, **B59**(1975)85.
- [3] N. S. Manton, *Phys. Rev.*, **D28** (1983) 2019; F. R. Klinkhamer and N. S. Manton, *Phys. Rev.*, **D30** (1984) 2212.
- [4] V. A. Kuzmin, V. A. Rubakov and M. E. Shaposhnikov, *Phys. Lett.*, **B155** (1985) 36.
- [5] A. I. Bochkarev and M. E. Shaposhnikov, *Mod. Phys. Lett.*, **A2** (1987) 991.

- [6] D. Yu. Grigoriev, V. A. Rubakov and M.E. Shaposhnikov, *Phys. Lett.*, **B216** (1989) 172; *Nucl. Phys.*, **B326** (1989)737.
- [7] Y. Brihaye, S. Giller, D. Kosinski and J. Kunz, CERN-TH, 6598/92.
- [8] N. S. Manton and T. M. Samols, *Phys. Lett.*, **B207** (1989) 179.
- [9] Jiu-Qing Liang, H. J. W. Miiler-kirsten and D. H. Tchrakian, *Phys. Lett.*, **B282** (1992) 105.
- [10] R. Rajaraman, *Solitons and instantons* (North-Holland, Amsterdam, 1982).
- [11] E. T. Whittaker and G. N. Watson, *A course of Modern Analysis* (Cambridge U. P., Cambridge, 4-th Edition 1927).

Non-contractable Loops and Sphalerons in 1+1-dimension $U(1)$ Higgs Model

Li Yuxiao Shi Wanzhong Liu Li

(Physics department of Zhengzhou University, Zhengzhou 450052)

Received on August 23, 1993

Abstract

1 + 1-dimensional $U(1)$ Higgs model on the circle is examined. Non-contractable loops are constructed and Sphaleron configurations are presented.

Key words Non-contractable loops, Sphaleron, Topological vacua